

熊本大学 工学部 正員 ○北園芳人  
熊本大学 工学部 正員 鈴木敦巳

## 1. 予えざき

中部九州に広く分布する火山碎屑岩風化土(灰土)は極めて敏軟な粘土として知られている。灰土は地山において露出しない限りでは安定しているが、灰土を材料として盛土などを行なう場合、わり返されて軟弱化するため、安定した盛土が得られない。このような敏軟な灰土に対して、高飽和度の非排水条件で、充填荷重や余盛などによる先行載荷を受けた場合、せん断強度や変形係数にどのような影響をおぼすか調べることは重要である。そこで今回は、くり返し載荷試験あるいは静的持続載荷試験を、灰土と一般的粘性土で代表的な粘土鉱物カオリナイトを主成分とするカオリンの両者で行ない、その先行載荷効果を比較検討した。

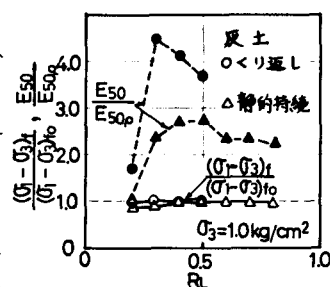
## 2. 実験方法

灰土(熊本県鹿本郡植木町跡取<sup>44)</sup>で採取)と市販カオリンを高さ 125mm、直徑 50mm の定型<sup>45)</sup>して供試体とした。それらの諸元は表-1の通りである。試験方法は、24時間等方圧密したあと、非排水条件下先行載荷、すなわちくり返し載荷(周期 1.0 sec. T=10 回)あるいは静的持続載荷(90 min.)をされず单一荷重で行った。載荷強度はそれぞれ等方圧密非排水三軸圧縮強度に対する比( $R_L = \frac{\sigma}{(\sigma_1 - \sigma_3)} \cdot 100\%$ )で表わす。先行載荷終了後、そのままの拘束圧で、非排水三軸圧縮試験を行ない、等方圧密終了後の非排水三軸圧縮強度・ $(\sigma_1 - \sigma_3)_{f0}$ 、変形係数 $E_{50.0}$ と比較した。

## 3. 実験結果および考察

先行載荷後の非排水三軸圧縮強度は等方圧密終了後のものに比較して(図-1, 図-2)、灰土・カオリンの両者とも、先行載荷の方法が異なってもほとんど変化していない。しかし、変形係数においては、灰土・カオリンの両者とも、先行載荷によって増加しており、くり返し載荷による強度増加が、静的持続載荷よりも大きくなっている。また、載荷と除荷という応力の変化のある方が硬化効果のあることを示している。次に、灰土とカオリンを比較すると、くり返し載荷における変形係数の増加率が異なり、後者の方が 200% 近く大きくなっている。カオリンは結晶質の粘土鉱物カオリナイトを主成分としているのに対し、灰土はカオリナイトを含むものの、結晶度の低い粘土鉱物を多く含むため、カオリンのようなくず粒子の配向性が強くなく、硬化効果が小さいものと考えられる。

先行載荷による有効応力経路(図-3)をみると、くり返し載荷の場合、 $R_L = 0.57$  等方圧密非排水圧縮試験より求めた破壊線上にあるが、図-4からわかるように破壊には至っていない。さらに、くり返し載荷後の非排水圧縮



試験において、 $R_L = 0.4$  と 0.5 で明らかに有効応力

表-1 試料の物理的性質および諸元

試料名	灰土	カオリン	
自然含水比	50.6 %	(6.2) %	
比重	2.79	2.69	
液性限界	53.5 %	34.8 %	
塑性指数	17.6 %	11.7 %	
日本統一分類法	VH <sub>1</sub>	C <sub>2</sub>	
作成時	含水比	49.3 %	32.5 %
乾燥密度	1.17 g/cm <sup>3</sup>	1.41 g/cm <sup>3</sup>	
間隙比	1.40	0.91	
飽和度	98.4 %	96.5 %	
等方圧密後	含水比	45.2 %	27.1 %
乾燥密度	1.23 g/cm <sup>3</sup>	1.54 g/cm <sup>3</sup>	
間隙比	1.28	0.74	
飽和度	98.8 %	98.0 %	
( $\sigma_1 - \sigma_3$ ) <sub>f0</sub>	2.794 kg/cm <sup>2</sup>	2.640 kg/cm <sup>2</sup>	
$E_{50.0}$	79.59 kg/cm <sup>2</sup>	58.19 kg/cm <sup>2</sup>	

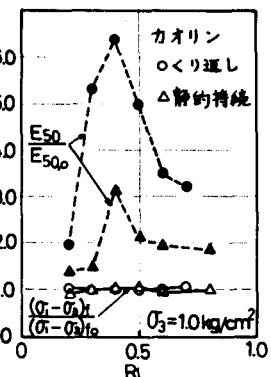


図-2 カオリンの先行載荷による強度変化

力が、破壊線を越えて低下している。これは、図-4の $\varepsilon$ -log N曲線において、 $R_L > 0.3$ で初期ヒズミ( $N=10^3$ 回)が急激に増加し、 $\varepsilon$ -log N曲線が下に凸の曲線となっていることから、有効応力が大きく低下しているにもかかわらず、 $N > 10^3$ 回では、外力に対して安定した土の骨格構造が形成されたものと考えられる。

つまり、カオリリンの場合には、この傾向がさらに顕著で、非晶質の粘土鉱物を主成分としている有機質火山灰土などでは、このような傾向がみられないことから、結晶質の粘土鉱物カオリナイトを含むカオリリンや灰土では、土粒子の配向が比較的進みやすく、土の骨格構造が降伏してから、外力に対して安定した骨格構造を形成し得るとと思われる。静的持続載荷の場合、有効応力が破壊線に達すると、破壊し、 $\varepsilon$ -log N曲線(図-5)もほぼ直線となり、載荷中にヒズミ速度の急激な変化は起こらず、土粒子の配向による土の骨格構造の変化が、くり返し載荷ほどスムーズに起こらないものと考えられる。

#### 先行載荷初期のヒズミ

速度と荷重比の関係を示すと図-6のようになる。

この図から、ヒズミ速度の急変点が得られ、これは第二降伏値と考えられるが、上粒子の配向性の強いカオリリンや灰土のくり返し載荷の場合、この降伏値を越えると顕著な土の骨格構造の変化が生じるものと考えられる。

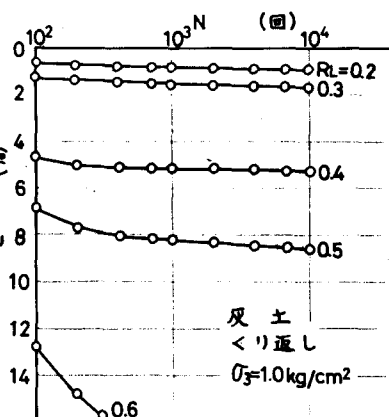


図-4 軸ヒズミー載荷回数の関係

また、この第一降伏値とくり返し載荷後の変形係数を比較してみると、灰土・カオリリンの两者とも、第一降伏値よりも小さな荷重比で最大となり、第一降伏値以上になると変形係数も小さくなる。

これらのことから、灰土に対する非排水条件下的先行載荷効果は変形係数については硬化効果が認められ、せん断強度の増加現象はみられず、高鏡歴性( $S_t = 16$ )のため、カオリリンと比較して小さい先行荷重比でかなり大きい軸ヒズミが生じる。変形係数における硬化効果は、くり返し載荷の第一降伏値よりも小さな荷重の場合が最も大きい。しかし、灰土はカオリリンに比べて結晶度の低い粘土鉱物が多く含まれたため、土粒子の配向性がカオリリンよりも強く、硬化効果が小さく、第一降伏値や破壊に達する荷重比が小さい。静的持続載荷の場合にはカオリリンでも土粒子の配向が起りにくく、灰土とカオリリンの差は顕著ではない。

#### 参考文献

- (1) 鈴木・北園：「くり返し載荷を受ける阿蘇火山灰土の変形特性」、第13回土質工学研究発表会講演集(1978年6月)
- (2) 北園・鈴木：「締固めた有機質火山灰土の変形特性に対する非排水先行載荷効果」、土質工学会論文報告集投稿中
- (3) 赤井・柴田・成井：「土と岩石のレオロジー(N)」、「材料」第17巻第18号

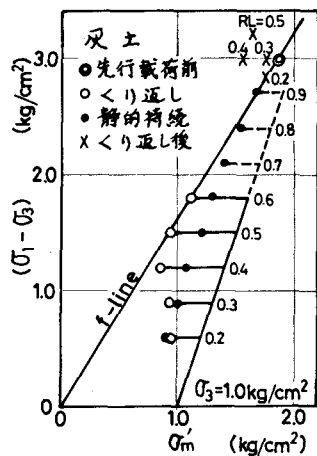


図-3 先行載荷による荷重応力経路

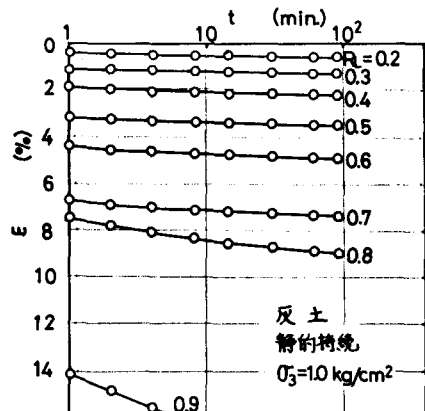


図-5 軸ヒズミー載荷時間の関係

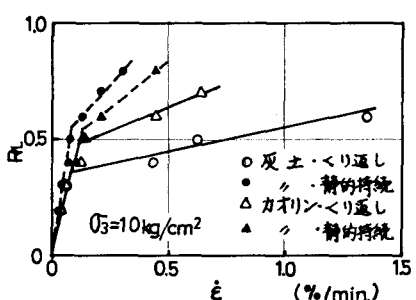


図-6 荷重比-ヒズミ速度の関係